



Semnan University

Journal of Modeling in Engineering

Journal homepage: <https://modelling.semnan.ac.ir/>



Research Article

The effect of hydrogen functionalization on the thermal properties of coiled carbon nanotubes

Mahdi Azhari Saray^{1,*}, Ali Rajabpour², Majid Baniassadi²

1. School of Mechanical Engineering, College of Engineering, University of Tehran, Iran.
2. Imam Khomeini International University, Qazvin, Iran.
3. College of Engineering, University of Tehran, Iran.

*Corresponding Author: Mahdi.azhari@ut.ac.ir

PAPER INFO

Paper history:

Received: 22 January 2023

Revised: 26 March 2023

Accepted: 03 May 2023

Keywords:

Nanomaterials,
Carbon nanostructures,
Coiled nanotubes (CCNT),
Nanocomposite,
Thermal properties,
Non-equilibrium molecular
dynamics,
Chemical Functionalization,
Hydrogen.

ABSTRACT

Making new materials to control heat transfer has always been of interest. Carbon-based nanomaterials are promising for heat transfer due to their excellent thermal properties. Coiled carbon nanotubes (CCNTs) are among artificial carbon nanostructures due to their special mechanical properties, including high stretchability and good thermal properties are often used in many applications such as making nanodevices or advanced nanocomposites. In this research, using the molecular dynamics simulation technique and non-equilibrium molecular dynamics method, the effect of hydrogen functionalization with hydrogenation percentages of 5, 15, and 30% on the thermal properties of CCNTs has been investigated. The results show that the thermal conductivity of CCNTs is strongly affected by functionalization. So that by functionalizing them by 5%, their thermal conductivity decreases by 50%. Also, unlike other carbon nanostructures, the thermal conductivity of CCNTs does not decrease with the increase in the degree of functionalization, so the coefficient of thermal conductivity of 30% hydrogenated CCNTs is higher than the hydrogenated samples with lower percentages.

© 2023 Published by Semnan University Press.

DOI: <https://doi.org/10.22075/jme.2023.29700.2398>

How to cite this article:

azhari, M., baniassadi, M., & rajabpour, R. (2023). The effect of hydrogen functionalization on the thermal properties of coiled carbon nanotubes. *Journal of Modeling in Engineering*, 21(74), 153-162.
doi: 10.22075/jme.2023.29700.2398

تأثیر عاملدارسازی شیمیایی به وسیله هیدروژن بر خواص حرارتی نانولوله‌های کربنی فنی

مهدی اظهري سراي^{۱*}، علي رجب پور^۲، مجيد بني اسدي^۳

اطلاعات مقاله	چکیده
<p>نوع مقاله: پژوهشی</p> <p>دریافت مقاله: ۱۴۰۱/۱۱/۰۲</p> <p>بازنگری مقاله: ۱۴۰۲/۰۱/۰۶</p> <p>پذیرش مقاله: ۱۴۰۲/۰۲/۱۳</p>	<p>ساخت مواد جدید برای کنترل انتقال حرارت همواره مورد توجه بوده است. نانومواد مبتنی بر کربن به دلیل ویژگی‌های حرارتی فوق‌العاده‌ای که دارند، کاندیدای امیدوارکننده‌ای برای انتقال حرارت بوده‌اند. نانولوله‌های کربنی فنی (CCNT)، جزو نانو ساختارهای کربنی مصنوعی هستند که اغلب به دلیل دارا بودن خواص مکانیکی ویژه از جمله کشش پذیری زیاد و خواص حرارتی خوب در کاربردهای فراوانی همچون ساخت نانو دستگاه‌ها و یا ساخت نانوکامپوزیت‌های پیشرفته با خواص ترمومکانیکی ویژه به کار می‌روند. در این پژوهش با استفاده از تکنیک شبیه سازی دینامیک مولکولی و با روش دینامیک مولکولی غیر تعادلی به بررسی تأثیر عاملدارسازی شیمیایی با هیدروژن با درجه های هیدروژن دار سازی ۰، ۵، ۱۵ و ۳۰ درصد بر خواص حرارتی نانولوله‌های فنی پرداخته شده است. نتایج نشان می‌دهد که رسانایی حرارتی CCNTها به شدت تحت تأثیر عاملدارسازی قرار می‌گیرد. بطوریکه با ۵ درصد عاملدار کردن آنها تقریباً ضریب رسانایی حرارتی آنها ۵۰ درصد کاهش می‌یابد. همچنین برخلاف سایر نانو ساختارهای کربنی با افزایش درجه عاملدارسازی در CCNTها رسانایی حرارتی روند نزولی نخواهد داشت بطوریکه ضریب رسانایی حرارتی CCNTهای ۳۰ درصد هیدروژن دار شده بیشتر از نمونه‌های هیدروژن دار شده با درصدهای کمتر است.</p>
<p>واژگان کلیدی:</p> <p>نانو مواد، نانوساختارهای کربنی، نانولوله‌های فنی (CCNT)، نانو کامپوزیت، خواص حرارتی، دینامیک مولکولی غیر تعادلی، عاملدار سازی شیمیایی، هیدروژن.</p>	

۱- مقدمه

کشف مواد یا مهندسی آنها با رسانایی حرارتی فوق العاده بالا و یا بسیار کم برای بسیاری از کاربردها مانند کنترل دما در دستگاه‌های الکترونیکی و فوتونیک، مبدل‌های حرارتی، عایق‌های حرارتی و مبدل‌های انرژی بسیار مطلوب است [۱]، [۲]. بنابراین هدایت حرارتی در سیستم‌های نانومقیاس در سال‌های اخیر به دلیل پیشرفت‌هایی که در الکترونیک، ترموالکترونیک و فوتونیک صورت گرفته است، مورد توجه گسترده‌ای قرار گرفته است. با کاهش اندازه دستگاه‌های مکانیکی و الکترونیکی به میکرون و نانومتر، علاقه‌مندی‌های قابل توجهی به موادی که گرما را به طور

موثر هدایت می‌کنند، به وجود آمده است. از سوی دیگر، افزایش تقاضا برای منابع انرژی تجدیدپذیر، گسترش تکنیک‌های جدید برای تولید دستگاه‌های جدید برای ذخیره انرژی حرارتی را سرعت بخشیده است. در این میان نانومواد کربنی، بیشتر به دلیل رسانایی حرارتی بسیار بالا، توجه زیادی را به خود جلب کرده‌اند [۳-۵]. نانولوله‌های کربنی (CNTs) به دلیل خواص مکانیکی [۶]، حرارتی [۷] و الکترونیکی [۸] منحصربه‌فردشان از تأثیرگذارترین نانوساختارها در این حوزه هستند. این ساختارها رسانایی حرارتی بسیار بالایی دارند (حدود 3500 W/m.K در دمای اتاق) [۷]. چنین خواص بی‌نظیری این ساختارها ناشی از

* پست الکترونیک نویسنده مسئول: Mahdi.azhari@ut.ac.ir

۱. دانشجو، دانشکده مهندسی مکانیک، دانشگاه تهران

۲. دانشیار، دانشکده مهندسی مکانیک، دانشگاه بین المللی امام خمینی قزوین

۳. دانشیار، دانشکده مهندسی مکانیک، دانشگاه تهران

دايره‌اي با شکل‌هاي هندسي مختلف در شعاع سيم پيچ بزرگتر، کاهش مي يابد. همچنين با افزايش شعاع CNT و گام سيم پيچ رسانايي حرارتي اندکي افزايش مي يابد. چن و همکاران [۱۷] با استفاده از شبیه سازی دینامیک مولکولی خواص حرارتي و مکانیکی CCNT ها با پارامترهاي هندسي مختلفی را بررسی کردند. آنها نشان دادند که هدایت حرارتي نانولوله‌هاي کربني فنري با افزايش شعاع CCNT کاهش مي يابد، اما با افزايش گام CCNT و شعاع CNT رسانايي حرارتي مي‌تواند اندکي افزايش يابد. شريفیان و همکاران [۱۳] هدایت حرارتي و یکسوسازی حرارتي نانو ساختارهاي کربني مارپیچ با پارامترهاي هندسي مختلف، اثر هیدروژن دار کردن و رفتار مکانیکی را مورد بررسی قرار دادند. نتایج آنها نشان داد که هدایت حرارتي مواد مبتنی بر نانو ساختارهاي کربني مارپیچ^۲ کاملاً به هندسه و جهت گرما بستگی دارد. بنابراین، هدایت حرارتي طیف گسترده‌اي از ۴/۱ W/m.K تا ۴۵ W/m.K را به برای انواع SCBN ها گزارش کردند. همچنین آنها وجود نیروهاي vdW، ناهماهنگی بين حلقه‌ها و وجود عيوب هندسي در ساختار نانولوله‌هاي فنري را به عنوان یک عامل تعیین کننده در کاهش رسانايي حرارتي این ساختارها بیان کردند. یکی از راه‌هاي بهبود خواص حرارتي آلوتروپ‌هاي کربني عاملدار کردن آنهاست. با این کار می‌توان خواص حرارتي آلوتروپ‌هاي کربني را برای استفاده در طیف گسترده‌اي از کاربردها اصلاح کرد. به عنوان مثال هیدروژن یکی از گروه‌هاي عاملی مهمی است که تحقیقات گسترده- ای برای بررسی تاثیر اضافه کردن آن به خواص حرارتي ساختارهاي کربني مختلف از جمله گرافن، CNT و GH^۳ ها انجام شده است. چيپین و همکارانش [۱۸] اثر عاملدارسازی با هیدروژن را بر روی خواص حرارتي گرافن مورد بررسی قرار دادند. آنها گزارش کردند که با اضافه شدن فقط ۲/۵٪ هیدروژن به ساختار گرافن رسانايي حرارتي آن تا ۴۰٪ نسبت به گرافن خالص کاهش می‌يابد. آنها دلیل این امر را به این صورت گزارش کردند که افزودن گروه‌هاي عاملی به ساختار گرافن باعث می‌شود که هیبریداسیون کربن‌هاي ساختار گرافن در قسمت‌هايی که هیدروژن‌ها با اتم‌هاي کربن پیوند کوالانسی یگانه برقرار کرده‌اند از حالت sp^۲ به sp^۳ تغییر کند. این امر مسیر آزاد میانگین فونون

پیوندهاي قوی و وزن کم آنها است. رسانايي حرارتي در CNT ها به اندازه، کاپرالیته، وجود عيوب ساختاری در آنها و همچنین نوع گروه‌هاي عاملی متصل به آنها وابسته است [۷]. از زمان توصیف و سنتز نانولوله‌هاي کربني، پیشرفت عظیمی در درک این نوع مواد جدید انجام شده است. نانولوله‌هاي کربني فنري^۱ (CCNT) [۱۰]، [۱۱] از خویشاوندان نزدیک CNT ها هستند که توجه بسیاری از پژوهشگران و دانشمندان در حوزه نانو فناوری را به سبب دارا بودن خواص جالب مکانیکی [۱۲] و حرارتي [۱۳] به خود جلب کرده‌اند. با توجه به مشکلات تجربی در سنتز نانولوله‌هاي فنري با کیفیت بالا و منظم، انجام اندازه‌گیری‌هاي هدایت حرارتي کامل با تجهیزات فعلی هنوز چالش برانگیز است. تنها چند گروه تحقیقاتی محدودی مقادیر رسانايي حرارتي این نانو مواد را به صورت تجربی گزارش کرده‌اند. ما و همکاران [۱۴] هدایت حرارتي یک CCNT با کاپرالیته (۷۵) را با استفاده از مدل هدایت حرارتي یک بعدی بر اساس آزمایش‌هاي انتشار میدانی پیش‌بینی کردند. آنها رسانايي حرارتي CCNT را حدود ۳۸ W/m.K ارزیابی کردند. دنگ و همکارانش [۱۵] خواص ترموفیزیکی هشت نمونه CCNT با قطرهاي مختلف را در دماهاي ۱۰ تا ۲۰۰ کلوین بررسی کردند. آنها مشاهده کردند که با کاهش دما، ضریب نفوذ حرارتي (α) همواره افزايش می‌يابد در حالی که پیک رسانايي حرارتي در دمای ۷۵ کلوین اتفاق می‌افتد. همچنین آنها گزارش کردند که با کاهش قطر CCNT رسانايي حرارتي و الکتریکی آن افزايش می‌يابد. به دلیل وجود محدودیت‌ها و هزینه بر بودن آزمایش‌هاي تجربی برای ساخت نانولوله‌هاي فنري، استفاده از شبیه سازی‌ها بهترین جایگزین برای انجام تحقیقات تجربی است. ژائو و همکاران [۱۶] با استفاده از روش شبیه سازی دینامیک مولکولی خواص حرارتي CCNT ها را بررسی کردند. آنها نشان دادند که وجود چین خوردگی‌ها و عيوب ساختاری در CCNT ها به طور قابل توجهی هدایت حرارتي آنها را کاهش می دهد. بطوریکه حداکثر کاهش هدایت حرارتي، می تواند تا ۷۰٪ در دمای اتاق و ۶۰۰ K و در مقایسه با نانولوله‌هاي کربني تک جداره مستقیم با شکل ساختاری مشابه باشد. علاوه بر این آنها نشان دادند که رسانايي حرارتي CCNT های

³ Graphene Helicoid

¹ Coiled Carbon Nano Tubes

² Spiral Carbon-Based Nanomaterial (SCBN)

(انحناهای مثبت) در بخش‌های داخلی و خارجی CCNT خواهد شد. علاوه بر این، تحقیقات پیشین نشان داده است وجود نقص‌های غیر شش ضلعی در CCNTها برای تعادل ترمودینامیکی آنها ضروری است [۲۶]. علاوه بر پارامترهای گفته شده، شاخص‌های (n_1, n_2) برای توصیف CCNT متشکل از CNTهای پایه به کار می‌رود که در واقع کایرالیتی‌های آنها را نشان می‌دهد. ساختارهای انتخاب شده در این تحقیق دارای کایرالیتی $(10,0)$ هستند. شبیه سازی دینامیک مولکولی با استفاده از نرم افزار LAMMPS انجام شده و پتانسیل AIREBO برای برهم کنش‌های چند جسمی انتخاب شده است. از این پتانسیل برای بررسی خواص حرارتی CCNTها و همچنین GHهای عامل‌دار شده با هیدروژن استفاده شده است [۱۳]. ابتدا تمام ساختارها در حالت خالص، در دمای ۱ کلوین به تعادل ترمودینامیکی رسیده و سپس گروه‌های عاملی به صورت تصادفی با درصدهای ۵٪، ۱۵٪ و ۳۰٪ به آنها اضافه شده‌اند. پس از عامل‌داری ساختارها، با توجه به درجه عامل‌داری و با استفاده از هنگردهای NVT و NPT و به مدت زمان ۴/۵-۲ نانو ثانیه و نیز با گام زمانی ۰/۵ fs با استفاده از نرم افزار لمپس، از دمای ۱ کلوین به دمای ۳۰۰ کلوین رسانده شده‌اند. در تمامی شبیه سازی‌ها شرایط مرزی متناوب در جهت اعمال شار حرارتی برای اجتناب از اثرات انتهایی غیر واقعی و در بقیه جهت‌ها شرایط مرزی ارتجاعی^۲ اعمال شده است. قبل از مرحله اندازه‌گیری ضریب رسانایی حرارتی، انرژی ساختارها به روش گرادیان مزدوج^۳ به حداقل رسانده شده است. برای محاسبه ضریب هدایت حرارتی از روش دینامیک مولکولی غیر تعادلی استفاده شده است. در بخش دوم شبیه سازی‌ها، ابتدا تمامی ساختارها در راستای محور طولی به ۲۰ قسمت مساوی تقسیم شده‌اند که به ترتیب دو قسمت از ابتدا و انتهای هر ساختار ثابت شده و دو قسمت دیگر عنوان منابع گرم و سرد با دماهای ۳۱۰ کلوین و ۲۹۰ کلوین در نظر گرفته شده‌اند. بنابراین اختلاف دمای بین ناحیه سرد و گرم باعث ایجاد گرادیان حرارتی در ناحیه میانی خواهد شد. با اندازه‌گیری دمای هر ناحیه می‌توان گرادیان دمایی را اندازه گرفت و مطابق رابطه فوریه رسانایی حرارتی جسم را بدست دست آورد.

را کاهش داده و منجر به کاهش هدایت حرارتی می‌شود. مو و همکاران [۱۹] از دینامیک مولکولی غیر تعادلی^۱ برای بررسی اثر اضافه شدن اتم‌های اکسیژن بر رفتار حرارتی ورق گرافن تک‌لایه استفاده کردند. آنها به این نتیجه رسیدند که با افزایش تعداد اتم‌های اکسیژن، گرافن با انتقال حرارتی بالستیک مواجه می‌شود. در پژوهشی دیگر نشان داده شد که عامل‌دار کردن ورقه‌ی گرافن با الگوهای خاص، رسانایی حرارتی آن را تا حدود ۴۰ برابر کاهش می‌دهد [۲۰]. پان و همکارانش [۲۱] با استفاده از روش دینامیک مولکولی غیر تعادلی نشان دادند که تنها با ۵ درصد عامل‌دار کردن نانولوله کربنی تک جداره با کایرالیتی $(10,0)$ به وسیله هیدروژن رسانایی حرارتی حدود ۱/۵ برابر کاهش خواهد یافت [۲۲]. همانطور که مطرح شد، تاکنون تحقیقات گسترده‌ای بر تاثیر گروه‌های عاملی مختلف بر روی خواص حرارتی نانو ساختارهای کربنی همچون گرافن، نانولوله‌های کربنی و... انجام شده است اما در هیچ پژوهشی اثر هیچ نوع گروه عاملی بر روی خواص حرارتی CCNTها به دلیل ساختار پیچیده‌شان انجام نشده است. لذا نوآوری این تحقیق عامل‌داری این ساختارها به وسیله هیدروژن، بررسی و مطالعه خواص حرارتی آنها در حالت خالص و عامل‌دار شده است.

۲- مدل سازی

برای بررسی ضریب هدایت حرارتی نانولوله‌های فنی در این پژوهش، دو نوع ساختار بر اساس مدل چانگ [۲۲]، [۲۳] با پارامترهای هندسی $(6,1,2,1)$ و $(2,1,4,1)$ و به طول حدود ۱۲۲ و ۱۲۸ آنگستروم انتخاب شده‌اند. هر دو ساختار انتخاب شده دارای شکل هندسی کاملاً متفاوتی نسبت به یکدیگر هستند. بطوریکه نمونه $(6,1,2,1)$ مشابه CNTها دارای سطح مقطع دایروی بوده و شعاع داخلی بزرگی دارد. نمونه $(2,1,4,1)$ دارای شعاع داخلی کوچکتر و ساختاری مشابه به گرافن‌های مارپیچ دو جداره دارد [۲۵]. بر اساس مدل چانگ، CCNTها دارای عیوب غیر شش ضلعی در بخش‌های داخلی و خارجی فنی بوده و چهار پارامتر اصلی یعنی $(s, n77, n75, n55)$ تعیین کننده‌ی نحوه‌ی جایگیری این عیوب در CCNTها هستند. بدین ترتیب وجود شبکه‌های هفت ضلعی و پنج ضلعی در ساختار CCNT باعث ایجاد تقعر (انحناهای منفی) و تحدب

³ conjugate gradient (cg)

¹ Non-Equilibrium Molecular Dynamics (NEMD)

² Shrink-Wrapping

۱۰ W/m.K الي ۳۷۵ W/m.K به دست آمده است که تطابق خوبی با نتیجه به دست آمده در تحقيق حاضر دارد. لازم به ذکر است، نتایج به دست آمده برای ضریب رسانایی حرارتی نمونه‌های خالص در این تحقیق نزدیک به مقادیر به دست آمده در مرجع [۱۳] برای CCNT های مشابه است.

۳- نتایج

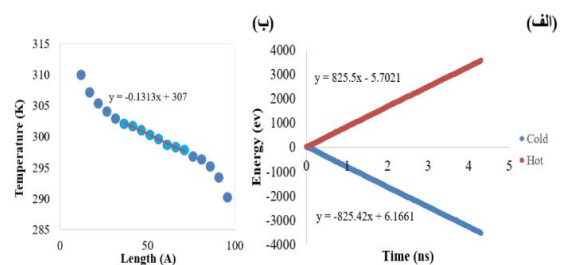
در نانوساختارهای کربنی همچون CCNT ها تمامی عواملی که موجب کاهش طول مسیر آزاد فونون شود باعث کاهش رسانایی حرارتی در این ساختارها خواهد شد. بنابراین وجود عیوب هندسی در نواحی داخلی و خارجی این ساختارها و اضافه شدن گروه‌های عاملی با تبدیل پیوندهای sp^2 به sp^3 دلیلی بر کاهش رسانایی حرارتی خواهد بود. همچنین این ساختارها به دلیل مورفولوژی مارپیچی که دارند و در نتیجه‌ی آن باعث به وجود آمدن نیروهای vdW بین حلقه-های CCNT خواهد شد. نیروهای واندروالس نقش بسزایی در کاهش رسانایی حرارتی ساختارهای مارپیچ خواهد داشت. به عبارتی دیگر این نیروها باعث سرکوب پراکندگی فونون‌ها در ساختار CCNT ها می‌شود. همچنین ثابت شده است که وجود این نیروها در ساختار GH ها که مشابه CCNT دارای ساختار مارپیچ هستند باعث خواهد شد که وابستگی رسانایی حرارتی به طول نمونه در این نوع ساختارها کاهش پیدا کند [۲۸]. با اضافه شدن گروه عاملی هیدروژن به ساختار CCNT، همانند دیگر نانوساختارهای کربنی پیوندهای sp^2 به sp^3 تبدیل خواهد شد که این عامل موجب اعوجاج^۱، چین خوردگی موضعی^۲ و تضعیف استحکام پیوندهای کربنی با هیبریداسیون sp^3 خواهد شد. علاوه بر این تغییر پیوندهای sp^2 به sp^3 موجب افزایش طول پیوندها و در نتیجه کاهش انرژی پیوند بین کربن‌ها در ساختار CCNT خواهد شد که باعث نرم شدن مد فونونی^۳ می‌شود [۲۹]، [۳۰]. بنابراین عاملدارسازی در نانوساختارهای کربنی رسانایی حرارتی را کاهش خواهد داد. علاوه بر دلایل مطرح شده برای کاهش رسانایی حرارتی، هندسه هرمی شکل پیوندهای sp^3 نسبت به هندسه تخت پیوندهای sp^2 موجب عدم تطابق صوتی^۴ (عدم تطابق صوتی برای توصیف انعکاس و انتقال امواج صوتی در فصل مشترک دو ماده با امپدانس نامطابق استفاده می‌شود) با پراکندگی

$$k = - \frac{q}{A \left(\frac{dT}{dx} \right)} \quad (۱)$$

در رابطه (۱) علامت < > نشان دهنده میانگین گیری هنگردی، $\frac{dT}{dx}$ گرادیان دمایی و A سطح مقطع عرضی است. روش فوق برای محاسبه ضریب رسانش گرمایی نانولوله‌ها، لایه‌های نازک، نانوسیم‌ها و ابرشبکه‌ها کاربرد دارد. همچنین دمای هر ناحیه طبق رابطه‌ی (۲) محاسبه شده است.

$$T_i(\text{slab}) = \frac{2}{3NK_B} \sum_j \frac{p_j^2}{2m_j} \quad (۲)$$

که $T_i(\text{slab})$ دمای هر ناحیه، N تعداد اتم‌های موجود در هر ناحیه، K_B ثابت بولتزمن و p_j و m_j به ترتیب مومنتوم و جرم اتم ژام هستند. از ترموستات Nose-Hoover برای کنترل دما در تمامی شبیه سازی‌ها استفاده شده است. در نهایت برای محاسبه رسانایی حرارتی، گرادیان دمایی پایدار در ۴/۵ ns - ۳ نگه داشته شده است. در این قسمت، گام زمانی برای ساختارهای خالص ۰/۵ فمتو ثانیه و برای بقیه ساختارها متناسب با پایداری ترمودینامیکی آن‌ها با درصد‌های مختلف هیدروژناسیون، ۰/۲ و ۰/۱ فمتو ثانیه انتخاب شده است. برای اعتبار سنجی ابتدا خواص حرارتی CNT دسته‌صندلی با کایرالیته (۱۰، ۱۰) با طول ۱۰۰ آنگستروم و با شرایط مشابه شبیه سازی به کار برده شده برای CCNT ها مطابق شکل (۱) انجام شده و ضریب رسانایی برای این نمونه حدود ۶۸/۰۹ W/m.K محاسبه گردیده است.



شکل ۱- مشخصات حرارتی (۱۰ و ۱۰) CNT الف) نمودار انرژی انباشته-زمان شبیه سازی ب) نمودارهای مشخصات توزیع دما در طول ساختار.

در مرجع [۲۷] برای نانولوله کربنی با مشخصات مشابه برای طول‌های ۵ الی ۴۰ نانومتر، ضریب رسانایی حرارتی حدود

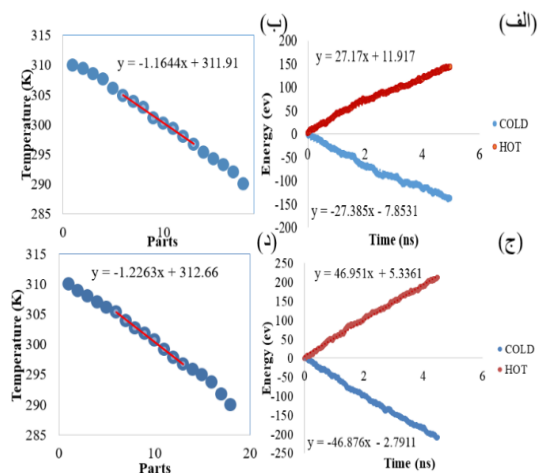
³ Softening phonon mode

⁴ Acoustic mismatch

¹ distortion

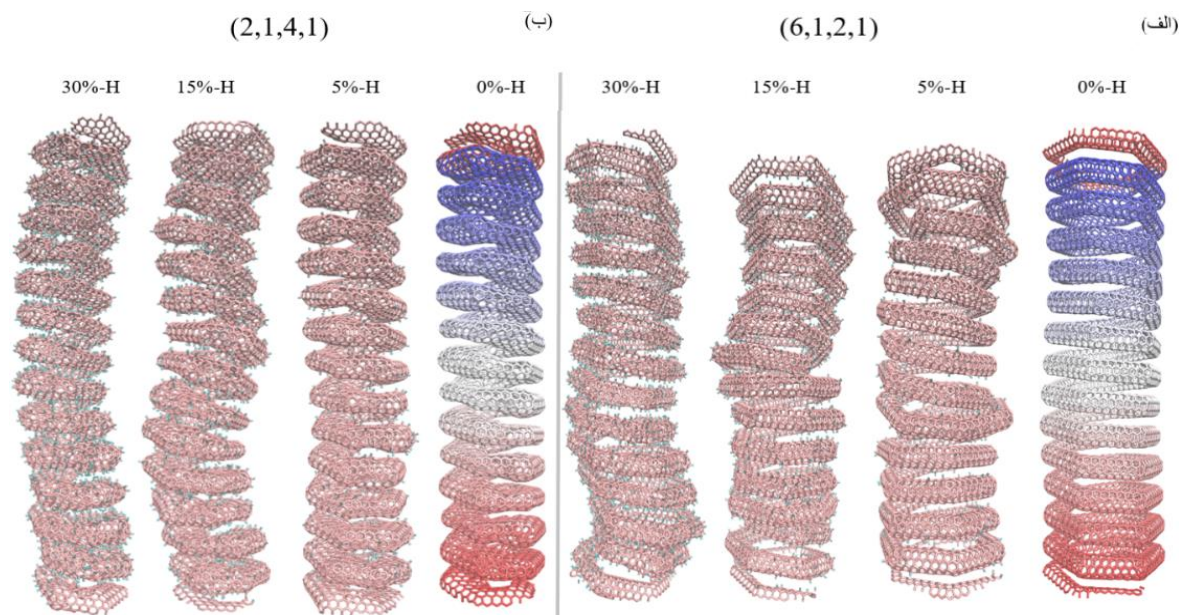
² Wrinkling

راستای طولی نمونه‌های خالص و عاملدار شده ساختارهای مورد آزمایش را نشان می‌دهد. در ادامه بررسی تغییرات ضریب هدایت حرارتی در اثر هیدروژن‌نیزه کردن برای ساختارهای مطرح شده به صورت مجزا پرداخته شده است.



شکل ۲- مشخصات حرارتی CCNTهای مورد آزمایش (الف) نمودار انرژی انباشته-زمان شبیه‌سازی نمونه (۶،۱،۲،۱) (ب) نمودار توزیع دما در طول نمونه (۶،۱،۲،۱) (ج) نمودار انرژی انباشته-زمان شبیه‌سازی نمونه (۲،۱،۴،۱) (د) نمودار توزیع دما در طول نمونه (۲،۱،۴،۱).

نامنسجم فونون‌ها خواهد شد لذا رسانایی حرارتی به شدت کاهش خواهد یافت [۳۱]. در CCNTها علاوه بر دلایل مطرح شده وجود ناهم‌انگهی بین حلقه‌ها در برخی از ساختارها، عاملی برای سرکوب انتقال حرارت درون صفحه-ای در CCNTها است. بطوریکه هرچقدر ناهم‌انگهی بین حلقه‌ها بیشتر باشد رسانایی حرارتی ساختار کاهش پیدا خواهد کرد. با توجه به انتقال حرارت محوری، CCNTها به دو گروه طبقه بندی می‌شوند. برای این گروه‌ها، از دو سطح مقطع متفاوت (A) برای بررسی رسانایی حرارتی ساختارها استفاده شده است. اولین گروه به عنوان مقطعی از CNT پایه که به نام A_{CNT} تعریف می‌شود و دومین گروه به عنوان مقطعی از TCNT اولیه به نام A_{TCNT} معرفی می‌شود که شامل ناحیه برهم کنش‌های vdW است. در نظر گرفتن دو نوع سطح مقطع متفاوت می‌تواند بر بینش ما در مورد روند تغییر رسانایی حرارتی بر اساس پارامترهای هندسی مختلف CCNTها تأثیر بگذارند. همچنین برای روشن شدن بهتر روش، نمودارهای انرژی-زمان شبیه‌سازی و پروفیل دما برای CCNTهای مورد آزمایش در حالت خالص در شکل (۲) نشان داده شده است. شکل (۳) نحوه‌ی توزیع دما بر اساس رنگ اتم‌ها در



شکل ۳- شکل هندسی CCNTها بر اساس درصد هیدروژناسیون (الف) نمونه (۶،۱،۲،۱) (ب) نمونه (۲،۱،۴،۱). رنگ اتم‌ها نشان دهنده گرادینان دمایی بر اساس جهت انتقال حرارت است.

در شکل (۳) برای نمونه خالص (۶،۱،۲،۱) مشاهده می‌شود که تمامی حلقه‌ها بدون هیچ گونه ناهم‌انگهی در راستای محور CCNT قرار گرفته اند و ضریب رسانایی حرارتی با

سطح مقطع CNT مطابق جدول ۱ برای این نمونه $4/43 \text{ W/m.K}$ به دست آمده است. با اضافه شدن تنها ۵ درصد گروه عاملی هیدروژن هم‌انگهی مطرح شده بین

درصد هيدروژن دار شده حدود ۴ آنگستروم است در حالي كه براي نمونه‌هاي خالص اين فاصله حدود ۳/۳۵ آنگستروم است) بطوريكه طول نمونه ۳۰ درصد عاملدار شده به وسيله هيدروژن افزايش شديدي نسبت به بقيه نمونه‌ها خواهد داشت. با افزايش فاصله بين حلقه‌ها تاثير برهم کنش‌هاي vdW ما بين حلقه به شدت کاهش مي‌يابد در نتيجه با کاهش تاثير اين نيروها كه عامل سرکوب کننده براي رسانايي حرارتي هستند، ضريب رسانايي حرارتي مقداري افزايش خواهد يافت. همچنين افزايش طول نمونه به خودي خود باعث افزايش ضريب رسانايي حرارتي خواهد شد چراكه نتايج پژوهش‌هاي پيشين نشان داده است كه ضريب رسانايي حرارتي نانوساختارهاي كربني در شبیه سازی ديناميك مولكولي به طول نمونه وابسته خواهد بود و با افزايش طول نمونه ضريب رسانايي محاسبه شده به وسيله شبیه‌سازي، افزايش پيدا خواهد کرد [۳۲].

حلقه‌ها از بين خواهد رفت. نتايج شبیه سازی‌ها نشان مي‌دهد كه تنها با اضافه شدن ۵ درصد گروه عاملی هيدروژن ضريب رسانايي نمونه (۶،۱،۲،۱) حدود ۵۵ درصد کاهش پيدا خواهد کرد و ضريب رسانايي حرارتي براي اين نمونه ۲/۰۲ W/m.K به دست آمده است. با افزايش عاملدارسازي به ۱۵ درصد، روند افت ضريب رسانايي حرارتي همچنان ادامه خواهد داشت و به مقدار ۱/۲۳ W/m.K خواهد رسيد. با ادامه افزايش عاملدار سازی روند نزولي در رسانايي حرارتي ديگر ادامه نخواهد داشت و مشاهده مي‌شود كه ضريب رسانايي حرارتي براي نمونه ۳۰ درصد عاملدار شده به وسيله هيدروژن بيشتر از نمونه‌هاي ۵ و ۱۵ درصد عاملدار شده است. دليل توجیه اين رفتار معكوس را مي‌توان در نيروهاي vdW بين حلقه‌ها جست و جو کرد. چرا كه با افزايش درجه عاملدار سازی فاصله بين حلقه‌ها افزايش خواهد يافت(فاصله بين حلقه‌هاي كربني براي نمونه ۳۰

جدول ۱. مشخصات حرارتي CCNT‌هاي مورد آزمون با درجه هيدروژناسيون متفاوت.

Sample	Q (ev)	A(Å ²)	Length (A)	k (W/m.K)
1_(6,1,2,1)				
0% H	1.36e-5	57.67	122.17	4.43
5% H	8.2e-6	57.67	115.12	2.02
15% H	1.9e-6	57.67	125.51	1.23
30% H	2.5e-6	57.67	134.84	2.21
2_(6,1,2,1)				
0% H	1.36e-5	381.6	122.17	0.6
5% H	8.2e-6	381.6	115.12	0.31
15% H	1.9e-6	381.6	125.51	0.19
30% H	2.5e-6	381.6	134.84	0.33
1_(2,1,4,1)				
0% H	2.35e-5	64.06	128.5389	6.15
5% H	3.4e-6	64.06	134.0555	5.27
15% H	3.1e-6	64.06	140.6858	4.16
30% H	2.5e-6	64.06	149.7331	5.55
2_(2,1,4,1)				
0% H	1.36e-5	574.914	128.5389	0.69
5% H	3.4e-6	574.914	134.0555	0.59
15% H	3.1e-6	574.914	140.6858	0.46
30% H	2.5e-6	574.914	149.7331	0.62

زمانی ۰/۱ fs برای محاسبه شار حرارتي و گرايدان دمایی به مدت زمان ۳ ns استفاده شده است. طول نمونه اوليه انتخاب شده براي محاسبه ضريب رسانايي حرارتي اين ساختار حدود ۱۲۸/۵ آنگستروم بوده و همانند نمونه (۶،۱،۲،۱) به تعادل ترموديناميكي رسیده اند. همانطور كه از جدول ۱ مشخص است رسانايي حرارتي براي نمونه

در ادامه خواص حرارتي نمونه (۲،۱،۴،۱) خالص، ۵٪، ۱۵٪ و ۳۰٪ عاملدار شده بررسی شده است. با توجه به اينكه نمونه (۲،۱،۴،۱) نسبت به نمونه (۶،۱،۲،۱) دارای پايداري كمتری است (هر چقدر ساختار CCNT‌ها دارای ابعاد هندسي بزرگتر و تعداد اتم بيشترى باشد پايداري بهتری خواهند داشت). لذا براي بيشتر شدن دقت در نتايج از گام

فنری آزمایش شده مشاهده می‌شود که با افزایش درجه عاملداری به ۳۰ درصد هیدروژن رسانایی حرارتی دیگر روند نزولی نخواهد داشت.

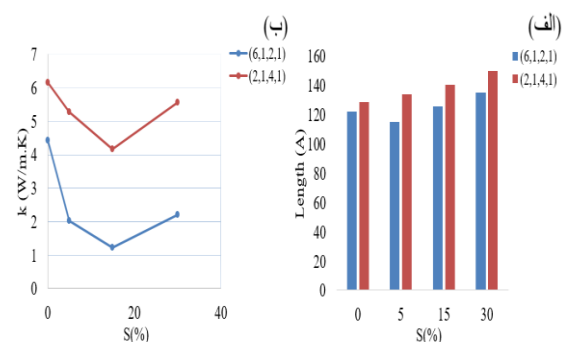
۴- نتیجه‌گیری

در این پژوهش تاثیر عاملداری به وسیله هیدروژن بر خواص حرارتی دو نوع نانولوله کربنی فنری با شکل‌های هندسی متفاوت با استفاده از روش دینامیک مولکولی غیر تعادلی بررسی شد. نتایج به دست آمده نشان داد که عاملداری این ساختارها تاثیر بسزایی بر خواص حرارتی آنها دارد. بطوریکه با ۵ درصد هیدروژنیزه کردن آنها ضریب رسانایی حرارتی تقریباً نصف شد. با توجه به مشخصات هندسی و جهت انتقال حرارت در CCNTها، نتیجه‌گیری شد که برهم‌کنش‌های VdW تاثیر بسزایی بر کاهش هدایت حرارتی CCNTها دارد. لذا تمامی عواملی که باعث کاهش تاثیر این برهم‌کنش‌ها شود منجر به افزایش ضریب رسانایی حرارتی در نانولوله‌های کربنی فنری خواهد شد. همانطور که نتایج به دست آمده از شبیه‌سازی‌ها برای دو نمونه با ابعاد و شکل هندسی متفاوت نشان داد، با افزایش عاملداری به بیش از ۳۰ درصد برخلاف سایر نانوساختارهای کربنی، در CCNTها ضریب رسانایی حرارتی افزایش یافت. همچنین با توجه به تاثیر طول بر رسانایی حرارتی نانوساختارهای کربنی، طول بیشتر نمونه، رسانایی حرارتی بالاتری را در پی داشت.

تقدیر و تشکر

خداوند سبحان را سپاسگزارم که به بنده حقیر توفیق انجام و اتمام پژوهش حاضر را عنایت فرمود. از تمامی اساتید، دوستان و خانواده‌ام که در تمام دوران تحصیلی مرا حمایت کرده‌اند تقدیر و تشکر می‌کنم.

(۲،۱،۴،۱) خالص $6/15 \text{ W/m.K}$ محاسبه شده است. با اضافه شدن ۵ درصد گروه عاملی هیدروژن مطابق شکل (۳) ناهم‌انگهی بین حلقه‌ها نسبت به نمونه (۶،۱،۲،۱) با درصد عاملداری مشابه کمتر است. بنابراین شدت افت ضریب رسانایی حرارتی در این نمونه کمتر بوده و به مقدار $5/27 \text{ W/m.K}$ خواهد رسید. با افزایش مقدار عاملداری تا ۱۵ درصد همچنان روند نزولی حفظ خواهد شد و ضریب رسانایی حرارتی برای نمونه ۱۵ درصد هیدروژن دار شده به مقدار 4 W/m.K خواهد رسید. با افزایش مقدار عاملداری به ۳۰ درصد، در این نمونه نیز همانند نمونه (۶،۱،۲،۱) رسانایی حرارتی روند نزولی نخواهد داشت و ضریب رسانایی حرارتی حدود $5/55 \text{ W/m.K}$ محاسبه شده است. نمودارهای موجود در شکل (۴) نحوه تغییرات طول و ضریب رسانایی حرارتی نمونه‌های بررسی شده بر اساس درصد عاملداری به وسیله هیدروژن را نشان می‌دهد.



شکل ۴- نمودار تغییرات (الف) طول (ب) ضریب رسانایی حرارتی نمونه‌های مورد بررسی بر اساس درصد هیدروژناسیون. همانطور که پیشتر مطرح شد برخلاف سایر نانوساختارهای کربنی که با افزایش درجه عاملداری رسانایی حرارتی آنها به شدت کاهش پیدا می‌کند، برای هر دو نمونه نانولوله

مراجع

- [1] H. Agricultural, "FEASIBILITY STUDY OF USING SOLAR THERMAL ENERGY FOR (HUNGARY AS A CASE STUDY)," HUNGARIAN AGRICULTURAL ENGINEERING, Vol. 7410, No. 41, 2022, pp. 72–78.
- [2] J. Suo, T. Wang, X. Zhang, H. Chen, W. Zhou, and W. Shi, "HIT-UAV: A High altitude Infrared Thermal Dataset for Unmanned Aerial Vehicles," Scientific Data, Vol. 10, No. 1, 023 Apr 20, pp. 1–11.
- [3] N. Yang, G. Zhang, and B. Li, "Thermal rectification in asymmetric grapheme ribbons," Appl. Phys. Lett., Vol. 95, No. 8, 2007, pp. 1–9.
- [4] G. Wu and B. Li, "Thermal rectification in carbon nanotube intramolecular junctions: Molecular dynamics calculations," Phys. Rev. B - Condens. Matter Mater. Phys., Vol. 76, No. 8, 2007 Aug 17, pp.1–9.
- [5] Kalantari, Mohammad Hassan, and Xian Zhang. "Thermal Transport in 2D Materials." Nanomaterials 13., Vol. 117, No. 1, 2022, pp.1–32 .

- [6] M. Konuk and E. Sert, "MOLECULAR DYNAMICS SIMULATIONS OF CARBON NANOTUBE," In9th Ankara International Aerospace Conference, Vol.128, No.8, 2017 Sep 20, pp. 1–9.
- [7] J. Che, T. Çağın, and W. A. Goddard, "Thermal conductivity of carbon nanotubes," *Nanotechnology*, Vol. 11, No. 2, 2000, pp. 65–69.
- [8] A. Lekawa-Raus, J. Patmore, L. Kurzepa, J. Bulmer, and K. Koziol, "Electrical properties of carbon nanotube based fibers and their future use in electrical wiring," *Adv. Funct. Mater.*, Vol. 24, No. 24, 2014, pp. 3661–3682.
- [9] G. Lei and H. Liu, "Thermal transport properties of graphyne nanotube and carbon nanotube hybrid structure: nonequilibrium molecular dynamics simulations," *J. Mater. Sci.*, Vol. 53, No. 2, 2018, pp. 1310–1317.
- [10] S. Ihara, S. Itoh, and J. I. Kitakami, "Helically coiled cage forms of graphitic carbon," *Phys. Rev. B*, Vol. 48, No. 8, 1993, pp. 5643–5647.
- [11] B. I. Dunlap, "Relating carbon tubules," *Phys. Rev. B*, Vol. 49, No. 8, 1994, pp.5643–5651.
- [12] J. Wu, H. Zhao, J. Liu, Z. Zhang, F. Ning, and Y. Liu, "Nanotube-chirality-controlled tensile characteristics in coiled carbon metastructures," *Carbon N. Y.*, Vol. 133, No. 14, 2018, pp. 335–349.
- [13] A. Sharifian, T. Karbaschi, A. Rajabpour, M. Baghani, J. Wu, and M. Baniassadi, "Insights into thermal characteristics of spiral carbon-based nanomaterials : From heat transport mechanisms to tunable thermal diode behavior," *Int. J. Heat Mass Transf.*, Vol. 189, N. 11, 2022, pp. 1–12.
- [14] H. Ma and L. Pan, "Thermal conductivity of a single carbon nanocoil measured by field-emission induced thermal radiation," *Carbon*, Vol. 0, No.5, 2011, pp. 3–8, 2011, doi: 10.1016/j.carbon..09.032.
- [15] Deng, Chenghao, et al. "Thermal diffusivity of a single carbon nanocoil: uncovering the correlation with temperature and domain size." *Acs Nano*, Vol. 9710 NO.10 ,2016, pp. 9710-9719.
- [16] Wang, Z. L., D. W. Tang, and W. G. Zhang. "Simultaneous measurements of the thermal conductivity, thermal capacity and thermal diffusivity of an individual carbon fibre." *Journal of Physics D: Applied Physics*, Vol. 40, No15, 2007, PP 4686-4701.
- [17] Chen Y, Qin H, Liu Y, Pei QX, Zhang YW. Modeling and Analysis of the Geometry-Dependent Mechanical and Thermal Properties of Coiled Carbon Nanotubes. *physica status solidi (RRL)–Rapid Research Letters*, Vol. 210, No. 16, 2022, pp. 1-16
- [18] S. Chien, Y. Yang, C. Chen, S. Chien, Y. Yang, and C. Chen, "Influence of hydrogen functionalization on thermal conductivity of graphene : Nonequilibrium molecular dynamics simulations Influence of hydrogen functionalization on thermal conductivity of graphene : Nonequilibrium molecular dynamics simulations," *Vol. 033107*, No. 2011, 2014 pp. 2012–2015.
- [19] Yang, Yi, Jing Cao, Ning Wei, Donghui Meng, Lina Wang, Guohua Ren, Rongxin Yan, and Ning Zhang. "Thermal conductivity of defective graphene oxide: a molecular dynamic study." *Molecules*, Vol. 24, No. 6, 2019, pp. 21-27.
- [20] Mu, X., Wu, X., Zhang, T., Go, D. B., & Luo, T. (2014). Thermal transport in graphene oxide—from ballistic extreme to amorphous limit. *Scientific reports*, Vol. 3909, No. 8, 2014, pp. 1–9.
- [21] J. Y. Kim, J. Lee, J. C. Grossman, and K. I. M. E. T. Al, "Thermal Transport in Functionalized Graphene," *ACS nano*, No. 10, 2012 pp. 9050–9057.
- [22] Pan, Ruiqin, Zijian Xu, Zhiyuan Zhu, and Zhenxia Wang. "Thermal conductivity of functionalized single-wall carbon nanotubes." *Nanotechnology*, Vol. 18, No. 28, 2007, pp 285-303.
- [23] C. Chuang, Y. C. Fan, and B. Y. Jin, "On the structural rules of helically coiled carbon nanotubes," *J. Mol. Struct.*, Vol. 1008, No. 6, 2012 pp. 1–7.
- [24] C. Chuang, Y. C. Fan, and B. Y. Jin, "Systematics of toroidal, helically-coiled carbon nanotubes, high-genus fullerenes, and other exotic graphitic materials," *Procedia Eng.*, Vol. 14, No. 12, 2011, pp. 2373–2385.
- [25] Sharifian, Ali, Mostafa Baghani, Jianyang Wu, Gregory M. Odegard, and Majid Baniassadi. "Insight into geometry-controlled mechanical properties of spiral carbon-based nanostructures." *The Journal of Physical Chemistry*, Vol. 123, No. 5, 2019, pp. 3226-3238.
- [26] Shahini, E., K. Karimi Taheri, and A. Karimi Taheri. "An investigation on tensile properties of coiled carbon nanotubes using molecular dynamics simulation." *Diamond and Related Materials*, Vol. 74, No. 9, 2017, pp. 154-163.

- [27] J. R. Lukes, "Thermal Conductivity of Individual Single-Wall Carbon Nanotubes," Vol. 129, No. 11, June 2007, pp. 705–716.
- [28] H. Zhan, G. Zhang, C. Yang, and Y. Gu, "Graphene Helicoid: Distinct Properties Promote Application of Graphene Related Materials in Thermal Management," J. Phys. Chem. C, Vol. 122, No. 14, 2018, pp. 7605–7612.
- [29] E. Pop, D. Mann, Q. Wang, K. Goodson, and H. Dai, "Thermal Conductance of an Individual Single-Wall Carbon Nanotube above Room Temperature," Nano letters, Vol. 6, No. 1, 2006, pp. 96–100.
- [30] Kotakoski, Jani, A. V. Krasheninnikov, Ute Kaiser, and J. C. Meyer. "From point defects in graphene to two-dimensional amorphous carbon." Physical Review Letters, Vol. 106, No. 10, 2011, pp. 1–10.
- [31] N. Wei, L. Xu, H. Q. Wang, and J. C. Zheng, "Strain engineering of thermal conductivity in graphene sheets and nanoribbons: A demonstration of magic flexibility," Nanotechnology, Vol. 22, No. 10, 2011, pp. 1–13.
- [32] Yousefi, Farrokh, Farhad Khoeini, and Ali Rajabpour. "Thermal conductivity and thermal rectification of nanoporous graphene: A molecular dynamics simulation." International Journal of Heat and Mass Transfer, Vol. 146, No 16. 2020, pp. 1–17.